

НАПРУЖЕНО-ДЕФОРМОВАНИЙ СТАН СУМІСНОЇ РОБОТИ ШДШРНОЇ СТІНКИ І ГРУНТУ ЗАСИПКИ, АРМОВАНОГО ГЕОРЕШІТКАМИ

Зарецький К.О., студент гр. ПЦБ-505м

Науковий керівник – д.т.н., професор Гришин А.В.

Одеська державна академія будівництва та архітектури
м. Одеса, Україна

Дослідження впливу армування ґрунтової засипки на напружено-деформований стан куткової підпірної стінки з врахуванням її пружнопластичного деформування и складного навантаження.

Вступ

У сучасному будівництві усе більш широко застосовуються нові полімерні і синтетичні матеріали. При армуванні ґрунтів в різних галузях будівництва застосовуються георешітки.

Георешітка як матеріал володіє великою несучою здатністю і порівняно малою деформацією. Заповнені модулі об'ємної георешітки утворюють напівжорстку плиту, що перерозподіляє навантаження. При розтягуванні утворюється міцний горизонтально-вертикальний каркас, для фіксації наповнювача (землі, піску, щебеня). Георешітка дозволяє оптимальним чином виробити стабілізацію навантаження і опір ерозії ґрунту, що забезпечує стабільне положення ґрунту. Під час армування ґрутового масиву георешіткою збільшується міцність і забезпечується хороший розподіл горизонтальних сил на значній площі. Георешітка володіє стійкістю до дії гідрогеологічних чинників і екологічною безпекою.

Найбільш перспективними є моделі пружнопластичності, які останнім часом знаходять ширше вживання і реалізуються в сучасних потужних програмних комплексах. На основі експериментальних даних вони відображають реальну властивість матеріалів. Надалі модель пружнопластичності використовуватиметься для аналізу стану напружено-деформованої системи [1].

Основні рівняння і методи розв'язання

Для вирішення поставленого завдання використовувалися наступні співвідношення. Рівність, витікаюча з принципу віртуальної роботи, яке не залежить від зв'язку між напругою і деформаціями.

$$\int_{\Omega} [\delta \varepsilon]^T \sigma d\Omega + \int_{\Omega} [\delta u]^T (\rho \ddot{u} + c \dot{u} - P) d\Omega - \int_{\Gamma_1} [\delta u]^T q d\Gamma = 0. \quad (1)$$

Тут: $\Gamma = \Gamma_1 \cup \Gamma_2$ – границя системи; δu , $\delta \varepsilon$ - вектори віртуальних переміщень і деформацій; σ - вектор внутрішніх напружень; ρ - щільність матеріала; c - вектор параметрів загасання; P - об'ємне навантаження, q - імпульсне поверхневе навантаження.

Зв'язок між приростами переміщень і деформаціями визначався з геометричних співвідношень Коші

$$d\varepsilon_{ks} = \frac{1}{2}(du_{k,s} + du_{s,k}). \quad (2)$$

Рівняння стану приймалися у вигляді рівності

$$d\varepsilon_{ks} = C_{ksmn}^{(e)} d\sigma_{mn} + d\lambda f_{,\sigma_{ks}}, \quad (3)$$

де $d\lambda = \text{const} > 0$; $f_{,\sigma_{ks}}$ - похідна від функції вантаження по σ_{ks} ; $C_{ksmn}^{(e)}$ - модулі пружності.

Застосувалася теорія кінематичного зміщення [2]. При чисельному вирішенні завдань пружнопластичності доводиться виробляти дискретизацію вихідних рівнянь по області, займаною системою. Для цього внутрішня область системи розбивається на кінцеві ізопараметричні елементи. Дискретизація основних рівнянь по області системи виконана методом кінцевих елементів. В результаті перетворень була отримана система нелінійних рівнянь алгебри, яку можна записати у вигляді наступного матричного рівняння

$$M + C + K(d) = Q, \quad (4)$$

тут: M – матриця мас, C – матриця демпфування системи, $K(d)$ – матриця жорсткості, залежна від вектора вузлових переміщень, Q - імпульсне навантаження, d - вектора вузлових переміщень.

Результати розрахунку

Розраховується ґрутовий масив укріплений підпірною спорудою у вигляді куткової залізобетонної підпірної стіни марки ПСМ66.60-1 по серії 3.002.1-2 розроблена ГПК Київський Промстройпроект (рис. 1).

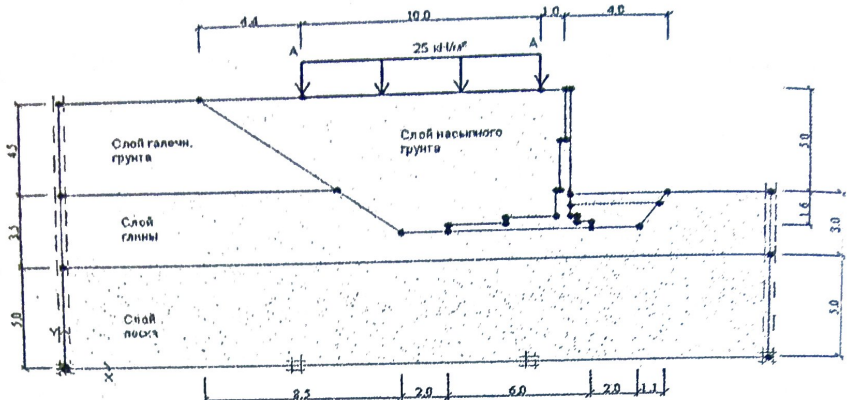


Рис.1. Розрахункова схема підпірної стіни

Із збільшенням висоти підпірної стіни куткового типу активний тиск ґрунту на неї зростає, що призводить до збільшення її робочого перерізу і внаслідок цього до того, що обважнює, і дорожчанню такої споруди. Для зменшення розпору ґрунту при розрахунку використовуються розвантажуючи пристрой, тобто георешітки. При розрахунку проводиться дослідження зміни напружено-деформованого стану, як в ґрунті, так і в підпірній стіні при армуванні ґрутового середовища георешіткою.

Куткова підпірна стіна виконана з монолітного заливобетону. Висота стіни над рівнем землі 5.0 м, а глибина залягання 1.6 м. Прикладене на ґрутовий масив навантаження складає 25 кН/м² при довжині додатка 10.0 м.

Схеми загальних переміщень елементів системи в збільшенному масштабі на всіх етапах виробництва робіт послідовно показані на рис. 2.

Як видно з схеми на рис.3 система знаходиться в стійкому стані, пластичні зони утворилися лише в ґрунтах.

Для дослідження впливу армування ґрунту масиву на напружено-деформований стан куткової підпірної стіни прийнята об'ємна георешітка з різними видами заповнювача: кварцовий пісок ($\gamma=1.55\text{Т/м}^3$, $E=30\text{МПа}$) і щебінь (фр. 10-20мм, $E=110\text{МПа}$) (рис. 4).

Для розрахунку досліджено 16 різних випадків розташування георешітки (для кожного виду заповнювача георешітки): з різною довжиною і різним розташуванням елементів по висоті підпірної стіни.

Результати розрахунку показників напружено-деформованого стану підпірної стіни при використанні георешітки, для перших 8 розрахункових варіантів з використанням різних матеріалів засиць, з різ-

ною довжиною і різним розташуванням елементів по висоті підпірної стіни, зведені в таблиці 1 і 2.

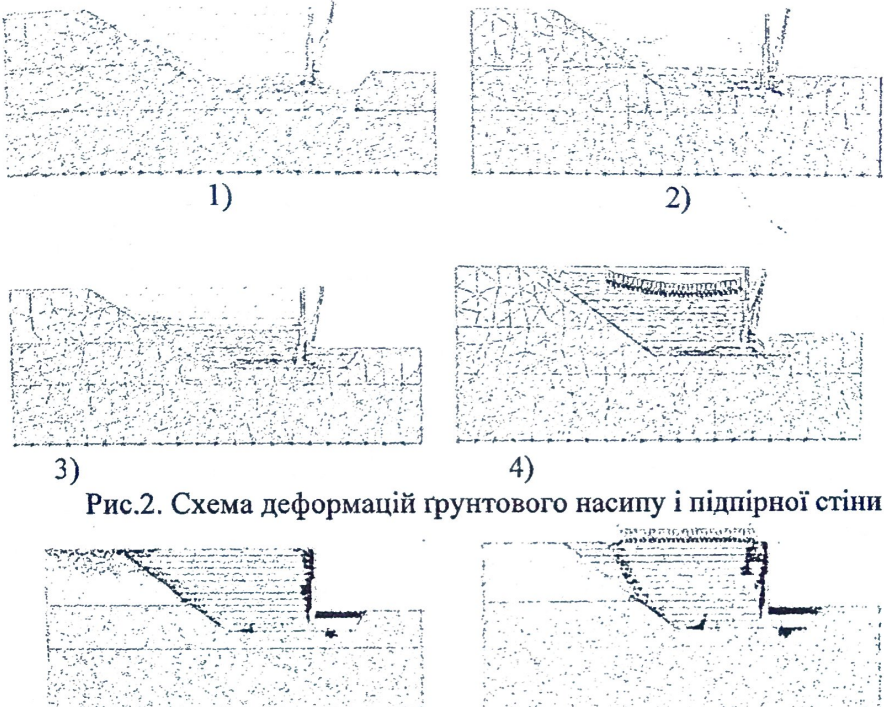


Рис.2. Схема деформацій ґрунтового насипу і підпірної стіни

Рис.3. Схема утворення пластичних зон

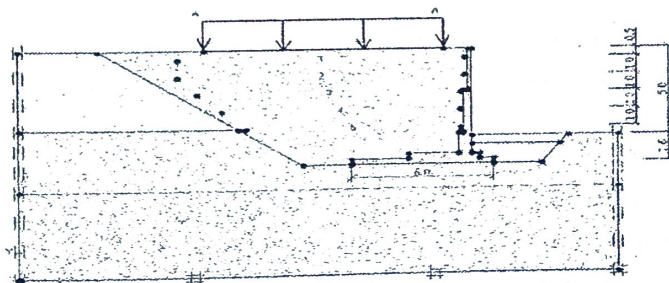


Рис. 4. Армування зворотної засипки георешітками
(загальна схема)

Порівнявши отримані значення в результаті розрахунку можна зробити наступний висновок:

– при використанні георешітки із заповнювачем з щебня (фр.10-20мм, Е=110МПа) ефективним є варіант №8, а економічним – варіант №1;

Таблиця 1. – Результати розрахунку напруженого-деформованого стану підпірної стіни при використанні георешітки із заповнювачем із щебеню

Параметр	Заповнювач – щебінь (фр. 10-20мм, Е=110МПа)							
	Варіанти							
	1	2	3	4	5	6	7	8
Середні напруження в підпірній стіні (кН/м ²)	2260	2260	2260	2250	2320	2310	2300	2240
Девіаторні напруження в підпірній стіні (кН/м ²)	4619	4615	4618	4594	4754	4736	4714	4595
Горизонтальне переміщення підпірної стіні U_x (мм)	20	20	20	20	21	21	21	20
Вертикальне переміщення підпірної стіні (мм)	44	44	44	44	45	45	45	45
Повні напруження в ґрунтовому масиві (кН/м ²)	377.6	377.5	377.5	376.5	378.6	377.9	377	371
Середні напруження в ґрунтовому масиві (кН/м ²)	175.2	175.1	175.1	174.7	175.6	175.3	175	172.6
Девіаторні напруження в ґрунтовому масиві (кН/м ²)	166.1	166.1	166.1	166	166.1	166.1	166	165.7
Повні переміщення (мм)	46	46	46	46	46	46	46	46

– при використанні георешітки із заповнювачем з кварцового піску ($E=30\text{ МПа}$) ефективним є варіант №4, а економічним – варіант №1 [3].

Висновки

1. Оптимальним варіантом армування, за даних геологічних умов і параметрів підпірної стіни, є об'ємна георешітка шириною $b=6\text{ м}$ із заповнювачем з кварцового піску, при розташуванні 0.5м від верхнього рівня засипки.

2. Використання георешітки впливає на напруженодеформований стан як ґрунтів масиву, так і конструкції підпірної стіни, дозволяючи зменшити середні і девіаторні напруження, а також переміщення;

3. Використання георешітки шириною $b=6\text{ м}$ із заповнювачем з кварцового піску, при розташуванні 0.5м від верхнього рівня засипки, дозволило зменшити середні напруження в підпірній стіні на 90 кН/м²,

девіаторні напруження в підпірній стіні на $238 \text{ кН}/\text{м}^2$, повні напруження в ґрутовому масиві на $66 \text{ кН}/\text{м}^2$, середні напруження в ґрутовому масиві на $36 \text{ кН}/\text{м}^2$, горизонтальне переміщення підпірної стіни на 7 мм.

Таблиця 2. - Результати розрахунку напружено-деформованого стану підпірної стіни при використанні георешітки із заповнювачем з піску

Параметр	Заповнювач – кварцовий пісок ($E=30 \text{ МПа}$)							
	Варіанти							
	1	2	3	4	5	6	7	8
Середні напруження в підпірній стіні ($\text{kН}/\text{м}^2$)	2270	2270	2270	2260	2330	2330	2320	2290
Девіаторні напруження в підпірній стіні ($\text{kН}/\text{м}^2$)	4633	4633	4636	4612	4785	4775	4769	4692
Горизонтальне переміщення підпірної стіни U_x (мм)	20	20	20	20	21	21	21	21
Вертик. переміщення підпірної стіни (мм)	44	44	44	44	45	45	45	45
Повні напруження в ґрутовому масиві ($\text{kН}/\text{м}^2$)	377.8	377.8	377.9	376.9	379.4	379.1	378.6	374.7
Середні напруження в ґрутовому масиві ($\text{kН}/\text{м}^2$)	175.3	175.3	175.3	174.9	175.9	175.8	175.6	174
Девіаторні напруження в ґрутовому масиві ($\text{kН}/\text{м}^2$)	166.1	166.1	166.1	166	166.1	166.1	166.1	165.8

Література

1. Горбунов-Посадов М.І., Ілічев В.А., Крутов В.І. Основи, фундаменти і підпірні споруди. - М.: Стройиздат, 1985. - 480 с
2. Івлев Д.Д., Биковцев Г.І. Теорія пластичного тіла, що зміцнюється.. – М.: Наука, 1971. – 231
3. Керівництво по проектуванню підпірних стін і стін підвілів для промислового та цивільного будівництва.-М.: Стройиздат, 1984.